

## بررسی پایداری امولسیون‌های تهیه شده از هیبرید آلومینا- نانولوله‌های کربنی چند دیواره در دماهای متفاوت جهت ازدیاد برداشت مخازن نفتی

سارا خسروانی<sup>۱</sup>، مهشاد علائی<sup>۲\*</sup>، علی رمضانی<sup>۳</sup>، علیمراد رشیدی<sup>۴</sup> و مهشید ارشادی<sup>۵</sup>

- ۱- کارشناس ارشد شیمی آلی، گروه شیمی، دانشگاه زنجان، ایران
- ۲- استادیار شیمی معدنی، پژوهشکده کاتالیست و نانوفناوری، پژوهشگاه صنعت نفت، ایران
- ۳- استاد شیمی آلی، گروه شیمی، دانشگاه زنجان، ایران
- ۴- دانشیار مهندسی شیمی، پژوهشکده کاتالیست و نانوفناوری، پژوهشگاه صنعت نفت، ایران
- ۵- کارشناس ارشد شیمی آلی، گروه شیمی، دانشگاه زنجان، ایران

دریافت: تیر ۱۳۹۱، بازنگری: مرداد ۱۳۹۱، پذیرش: شهریور ۱۳۹۱

**چکیده:** با استفاده از روش ساده و اقتصادی شیمی تر، هیبرید آلومینا- نانولوله‌های کربنی چند دیواره برای تهیه امولسیون ساخته شد. امولسیون تهیه شده حاوی آب، هیبرید آلومینا- نانولوله‌های کربنی چند دیواره ( $MWCNT-Al_2O_3$ )، سورفکtant‌های مناسب، ۲-پروپانول و کروسین است. مشاهدات نشان می‌دهد که امولسیون تهیه شده با سورفکtant کاتیونی (CTAB) در دماهای متفاوت پایداری قابل توجهی نسبت به سورفکtant آنیونی (SDBS) و سورفکtant غیر یونی (TX-100) دارد. با توجه به نتیجه‌های آزمایش کشش بین سطحی و زاویه تماس که در انتیتوی نفت دانشگاه تهران انجام شده است، نanosیال تهیه شده می‌تواند برای ازدیاد برداشت مخازن نفت به ویژه مخازن نفتی کربناتی استفاده شود. ریخت‌شناصی و ساختار هیبرید تهیه شده، به وسیله‌ی پراش پرتو ایکس XRD و FE-SEM مشخص شد.

**واژه‌های کلیدی:** هیبرید آلومینا- نانولوله‌های کربنی چند دیواره، امولسیون، نanosیال، ازدیاد برداشت مخازن نفتی

بلوری و ویژگی‌های مربوط به خود را دارند. تاکنون نانوذرات آلومینا با روش‌های متفاوتی مانند هم‌رسوبی<sup>۱</sup> [۵]، سل-ژل<sup>۲</sup> [۶] و آب‌گرمایی<sup>۳</sup> [۷] سنتز شده‌اند. نانولوله‌های کربنی، ویژگی‌های فیزیکی ویژه‌ای مانند سبک بودن و استحکام کششی بالا دارند. نانولوله‌های کربنی در زمینه‌های بسیاری مانند پیل‌های سوختی، غربال‌های مولکولی و جاذب هیدروژن استفاده می‌شوند<sup>[۸]</sup>. ازدیاد برداشت مخازن نفت همیشه برای صنعت نفت و گاز در دنیا اهمیت اساسی داشته است. نتیجه‌هایی مثبت و قابل ملاحظه ای متفاوتی مثل کرونودوم،  $\alpha$ ،  $\theta$  و  $\eta$  دارد که هر کدام ساختار

### مقدمه

امروزه می‌توان فناوری نانو را به عنوان یک حوزه علمی اساسی برای گسترش رشته‌های علوم و مهندسی قلمداد کرد [۱]. فناوری نانو، تولید یا به کارگیری موادی است که حداقل یکی از ابعاد آنها کمتر ۱۰۰ باشد [۲]. آلومینا از جمله مهم‌ترین موادی است که عملکردی عالی به عنوان کاتالیست یا پایه کاتالیست در بسیاری از واکنش‌های شیمیایی دارد [۳ و ۴]. آلومینیم اکسید آلوبروپهای متفاوتی مثل کرونودوم،  $\alpha$ ،  $\theta$  و  $\eta$  دارد که هر کدام ساختار

1. Co-precipitation

2. Sol-gel

3. Hydrothermal

دستگاه ساخت شرکت فیلیپس هلند با سرعت روبش ۲ درجه بر دقیقه از ۲۰ تا ۸۰ درجه تهیه شد.

باز کردن سرنانولوله‌های کربنی چند دیواره برای تهیه هیبرید MWCNT-Al<sub>2</sub>O<sub>3</sub> MWCNT است سر نانولوله‌های کربنی باز شود. بدین منظور حدود ۱–۴ گرم MWCNT به محلول ۱۱ مولار نیتریک اسید افزوده شد و در طول شب تحت بازروانی قرار گرفت. نمونه به دست آمده پس از صاف کردن و شستشو با آب مقطر، داخل آون در دمای ۶۰°C خشک شد.

سترنانوذرات آلومینیا با استفاده از روش شیمی تر برای سترنانوذرات آلومینیا به روش شیمی تر از روش‌های متداول گزارش شده، استفاده نشد. از این‌رو، برای تهیه نانوذرات آلومینیا، ۲ گرم سوربیتول در ۱۰ میلی لیتر آمونیاک حل شد و به مدت ۱۰ دقیقه به هم زده شد ( محلول شماره ۱). ۵ گرم آلومینیم کلراید در ۲۰۰ میلی لیتر آب، در دمای اتاق حل شد ( محلول شماره ۲)، محلول شماره ۱ قطره قطره به محلول شماره ۲ افزوده و سپس pH محلول به دست آمده روی مقدار ۱۰ تنظیم شد و با افزایش سریع دما به ۷۰ درجه سانتی‌گراد ( به منظور ایجاد شوک گرمایی برای تشکیل بلورهای اولیه) در همین دما به مدت ۱۰ دقیقه همزده شد. پس از خنک شدن در دمای اتاق، نمونه صاف و در دمای ۶۰ درجه سانتی‌گراد خشک و سپس در دمای ۶۰۰ درجه سانتی‌گراد در جو عادی به مدت ۶ ساعت در کوره کلسینه شد. خلوص فراورده به دست آمده حدود ۹۸٪ بود.

تهیه هیبرید آلومینیا- نانولوله‌های کربنی چند دیواره برای سترنانوذرات آلومینیا- نانولوله‌های کربنی چند دیواره در هنگام سترنانوذرات آلومینیا براساس روش یاد شده، پس از تنظیم pH واکنش روی ۱۰، نانولوله‌های چند دیواره که سر آن‌ها باز شده، با توجه به درصد مورد نظر (۱۰٪ و ۷۰٪ و ۵۰٪ وزن آلومینیا سترنانوذرات شده، افزوده شد. پس از یکتواخت شدن و انتقال مخلوط به داخل

در زمینه‌ی تأثیر نانو ذرات آلومینیا در پایداری اولسیون و انتقال نانوسیال در یک فضای متخلخل در متابع علمی گزارش شده است [۹]. با توجه به اینکه پس از اعمال مراحل اولیه و ثانویه از دیگر برداشت که شامل تزریق بخار آب، گاز کربن دی اکسید و... است فقط ۳٪ نفت مخازن برداشت می‌شود، استفاده از تزریق مواد شیمیایی می‌تواند یکی از روش‌های مؤثر در از دیگر برداشت از مخازن کربناته ایران باشد. تزریق مواد شیمیایی همراه با آب (با غلظت کم) باعث کم شدن نیروی کشش بین سطحی آب و نفت، تولید اولسیون، بالا رفتن گرانزوی آب تزریقی و در نتیجه بالا رفتن بازده رانش نفت با آب و تغییر ترشوندگی سنگ مخزن می‌شوند [۱۰]. در این مقاله، هیبرید آلومینیا- نانولوله‌های کربنی چند دیواره با روش شیمی تر و با درصدهای متفاوت نانولوله‌های چند دیواره در سه دمای ۱۲۰، ۱۴۰ و ۱۷۰ درجه سانتی‌گراد تهیه شده و شرایط بهینه برای تهیه اولسیون برای استفاده در از دیگر برداشت مخازن نفت بررسی شده است. با عنایت به نتیجه‌های آزمایش‌های کشش بین سطحی و زاویه تماس، نانوسیال تهیه شده با هیبرید، ترشوندگی سنگ مخزن را افزایش داده و به این دلیل موجب از دیگر برداشت مخازن نفت خواهد شد.

## بخش تجربی

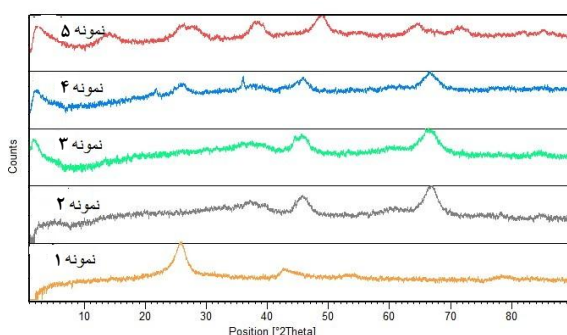
مواد و دستگاه‌های مورد استفاده نیتریک اسید (۶۵٪)، ستیل تری متیل آمونیم بروماید<sup>۱</sup> (CTAB)، سدیم دودسیل بنزن سولفونیک اسید<sup>۲</sup> (SDBS)، سوربیتول، کروسین، ۲-پروپانول، TX-100 و آلومینیم کلراید از شرکت مرک خردباری و نانولوله‌های کربنی چند دیواره با قطر داخلی ۱۰ تا ۲۵ نانومتر، طول ۱۰ میکرومتر و خلوص ۹۵٪ از پژوهشگاه صنعت نفت دریافت شد.

ریخت‌شناسی نمونه‌های هیبرید به وسیله‌ی میکروسکوپ گسیل میدان الکترونی رویشی (SEM-FE) با استفاده از میکروسکوپ XRD XL30 فیلیپس هلند به دست آمد. الگوهای پراش پرتو X نمونه‌ها با استفاده از پرتو تکفam (Cu K $\alpha$ ,  $\lambda = 1,5406 \text{ \AA}$ ) با

1. Cetyl trimethyl ammonium bromide

2. Sodium dodecyl benzene sulfonic acid

و در گستره‌ی ۴۱ تا ۴۳ درجه پیک داده که نشان‌دهنده حضور نانولوله‌های کربنی چند دیواره است. نمونه ۲، نانو ذرات آلمینیات سنتز شده با سوربیتول را نشان می‌دهد. شاخص‌ترین پیک آن در ۶۹ درجه است و الگوی پراش پرتو X آن مطابقت خوبی با کارت استاندارد شماره (JCPDS, No.29-63) دارد که بیان‌گر تشکیل گاما آلمینیاست. هیچ پیک اضافه‌ای که نشان دهنده حضور ناخالصی در نمونه‌ی سنتز شده باشد وجود ندارد. در نمونه‌های ۳، ۴ و ۵ با افزایش درصد نانولوله‌های کربنی چند دیواره از شدت پیک گاما-آلومینیا در نمونه هیبرید شده کاسته شده و متناسب با آن شدت پیک‌های مربوط به MWCNT افزایش یافته است. هرچند که در نمونه ۳ به علت پایین بودن درصد نانولوله‌های کربنی پیک‌های مربوط به روشنی قابل مشاهده نیستند. شکل ۳ تصویر SEM نانولوله‌های کربنی چند دیواره مورد استفاده را نشان



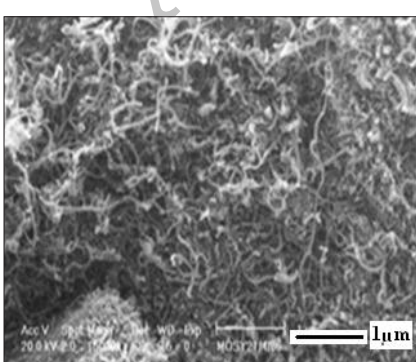
شکل ۲ الگوهای XRD نمونه‌ها

نمونه ۱: MWCNT، نمونه ۲: گاما آلمینیا،

نمونه ۳: هیبرید آلمینیا- نانولوله‌های کربنی حاوی ۱۰٪ نانولوله کربنی،

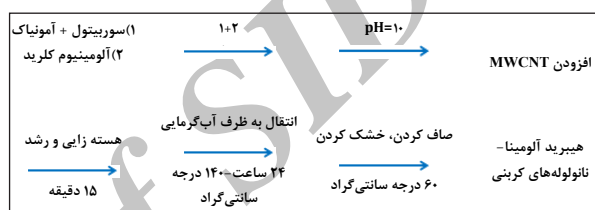
نمونه ۴: هیبرید آلمینیا- نانولوله‌های کربنی حاوی ۵۰٪ نانولوله کربنی،

نمونه ۵: هیبرید آلمینیا- نانولوله‌های کربنی حاوی ۷۰٪ نانولوله کربنی.



شکل ۳ تصویر SEM نانولوله‌های کربنی چند دیواره مورد استفاده

طرف آب گرمایی، نمونه به مدت ۲۴ ساعت همراه با همزدن ۲۵۰ دور در دقیقه (تبیيت سرعت همزدن جهت یکواختی اندازه ذرات فراورده)، در دمای‌های متفاوت (۱۲۰، ۱۴۰ و ۱۷۰ درجه سانتی‌گراد) نگه داشته شد. پس از آن رسوب بدست آمده صاف و پس از خشی شدن با آب مقطر، در داخل آون در دمای ۶۰°C خشک شد. شماي خلاصه مراحل انجام واکنش در شکل ۱ و شرایط بهینه تهیی نمونه شامل pH واکنش، بهترین دما و بهترین سورفکتانت برای تهیی امولسیون و درصد هیبرید در جدول ۱ آورده شده‌اند.



شکل ۱ شماي خلاصه مراحل سنتز هیبرید آلمینیا- نانولوله‌های کربنی

جدول ۱ شرایط بهینه سنتز هیبرید و ساخت امولسیون

دماي سنتز هيبريد	سورفكتانت	pH	درصد هيبريد
۱۴۰°C	CTAB	۱۰	۷۰

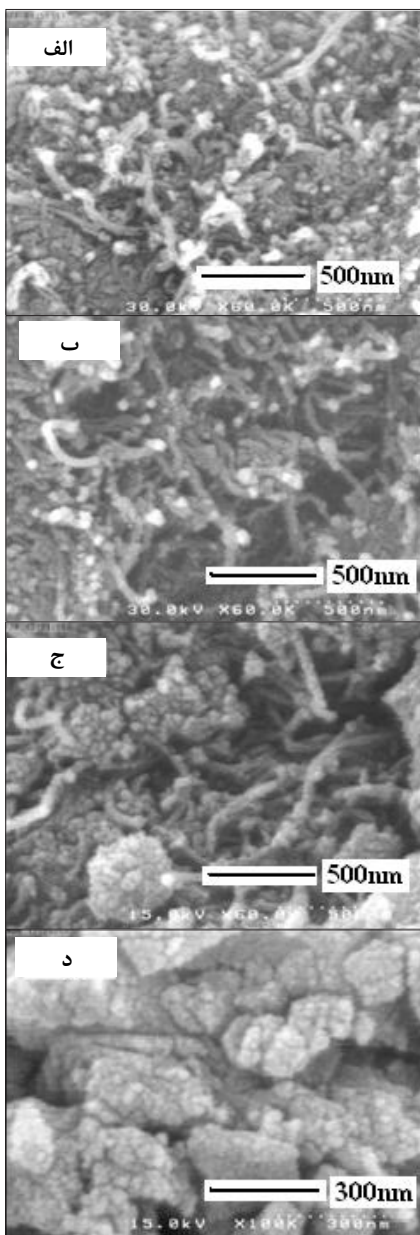
### آماده سازی امولسیون

مقدار کمی از هیبرید MWCNT-Al<sub>2</sub>O<sub>3</sub> در ۲۵ میلی لیتر آب مقطار متفرق شد، ۳ برابر وزن هیبرید، سورفکتانت مناسبی که می‌تواند آئیونی (مانند SDBS)، غیر یونی (مانند TX-100) و کاتیونی (CTAB) باشد، در ۲۵ میلی لیتر آب مقطار حل شد و سپس به نمونه افروده شد. امولسیون ۵ درصد روغن در آب، با افزودن کروسین به عنوان فاز آبی و مقدار مناسب از ۲-پروپانول برای تثبیت پایداری امولسیون و سپس قرار دادن آن در حمام فراصوت به مدت ۳۰ دقیقه، تهیی شد.

### نتیجه‌ها و بحث

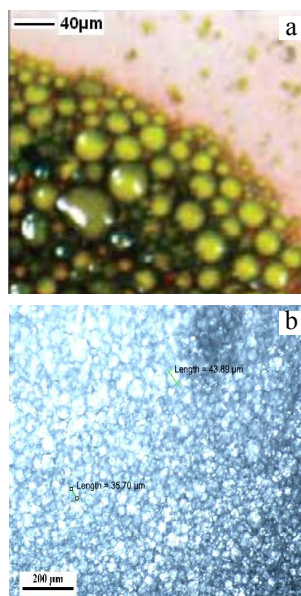
شکل ۲ الگوی پراش پرتو X (XRD) نمونه‌های هیبریدی تهیی شده آلمینیا- نانولوله‌های کربنی را با درصدهای ۱۰، ۵۰ و ۷۰ نشان می‌دهد. همان‌طور که مشاهده می‌شود نمونه ۱ در ۲۶ درجه

با مقایسه این تصویر با تصویرهای میکروسکوپی نمونه‌های ارایه شده در منابع [۱۱ و ۱۲]، مشاهده می‌شود که امولسیون تهیه شده در این پژوهش، یکنواختی بسیار بیشتری دارد و این یکنواختی موجب می‌شود که نمونه مدت زمان بیشتری پایدار بماند.



شکل ۴ تصویرهای FE-SEM نمونه‌های سنتز شده (الف) هیبرید آلمینا-نانولوله‌های کربنی حاوی ۱۰٪ آلمینا، (ب) هیبرید آلمینا-نانولوله‌های کربنی حاوی ۵٪ آلمینا، (ج) هیبرید آلمینا-نانولوله‌های کربنی حاوی ۷۰٪ آلمینا و (د) نانوذرات آلمینا

می‌دهد. شکل ۴ تصاویر FE-SEM هیبریدهای - $\text{Al}_2\text{O}_3$  با درصدهای ۱۰، ۵۰ و ۷۰ و همچنین گاما-آلومینای سنتز شده را ارایه می‌دهد. در هر سه هیبرید توزیع مناسبی از نانوذرات آلمینا بر روی نانولوله‌های کربنی چند دیواره دیده می‌شود و در مورد گاما آلمینای سنتز شده، با توجه به مقیاس تصویر، نانوذرات آگلomerه گاما آلمینا قابل مشاهده است. شکل‌های ۵ و ۶ به ترتیب تصویرهای امولسیون‌های تشکیل شده از گاما-آلومینای سنتز شده و امولسیون‌های تشکیل شده از هیبرید آلمینا-نانولوله‌های کربنی چند دیواره را با استفاده از سورفکتانت‌های متفاوت نشان می‌دهند. همان‌طور که مشاهده می‌شود، نمونه فقط با سورفکتانت کاتیونی ستبل تری متیل آمونیم بروماید تشکیل امولسیون داده و با استفاده از سورفکتانت آنیونی سدیم دودسیل بنزن سولفونیک اسید و سورفکتانت غیریونی TX-100 امولسیونی تشکیل نشده و فاز روغنی به عنوان یک فاز مجزا روی حلال آبی قرار گرفته است. آزمایش‌های پایداری امولسیون نشان داد که پایداری امولسیون تهیه شده با هیبرید ۷۰ درصد، بیشتر از امولسیون تهیه شده با سایر هیبریدها بوده و مدت زمان بیشتری یکنواختی خود را حفظ کرده است. همچنین امولسیون هیبرید ۷۰ درصد تهیه شده بسیار پایدارتر از امولسیون تهیه شده با گاما آلمینا به تنها ی است. زیرا به مدت چندین ماه، نمونه یکنواخت بوده و دو فازی نشد. امولسیون حاوی گاما-آلومینا بعد از اتمام فرایند / فراصوت فقط تا دقایقی پایدار می‌ماند و پس از آن ذرات رسوب در کف ظرف واکنش قابل رویت هستند. شکل ۷ تصویرهای امولسیون‌های تهیه شده در پژوهش‌های پیشین به همراه تصویرهای میکروسکوپی مربوط است [۱۲]. مقایسه تصویرهای امولسیون‌های تهیه شده در این پژوهش با پژوهش‌های قبلی مانند تصویرهای ارایه شده در شکل ۷ نشان می‌دهد که امولسیون‌های روغن در آب در پژوهش حاضر یکنواختی بسیار مناسبی داشته و دو فاز نمی‌شوند. شکل ۸ تصویر میکروسکوپ نوری نمونه امولسیون پایدار تشکیل شده از هیبرید ۷۰٪ گاما آلمینا-نانولوله‌های کربنی چند دیواره در دمای ۱۴۰ °C با روش آب‌گرمایی را نشان می‌دهد. میانگین اندازه قطرات امولسیون  $40 \mu\text{m}$  است.



شکل ۸ تصویرهای میکروسکوپ نوری امولسیون‌ها  
تصویر (a) مربوط به نمونه تهیه شده توسط رسکو و همکارانش [۱۱] و  
تصویر (b) مربوط به نمونه تهیه شده با هیبرید ۷۰٪ گاما آلومینا-نانولله‌های  
کربنی در دمای ۱۴۰°C با روش اول آب‌گرمایی در این پژوهش است.

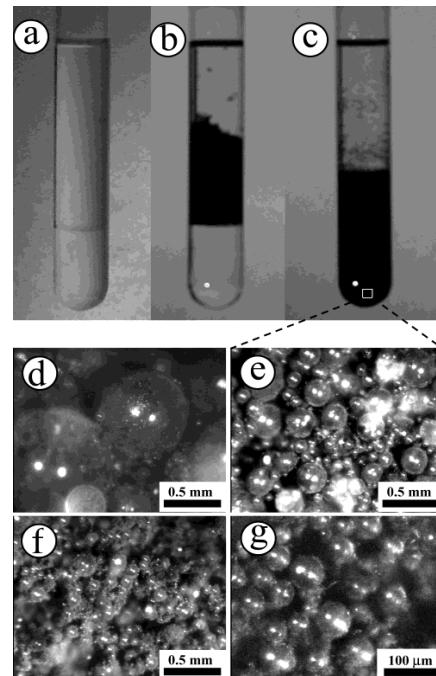


شکل ۵ امولسیون تشکیل شده از گاما آلومینای سنتز شده، با سورفکتانت‌های متفاوت (نام سورفکتانت مورد استفاده بر روی ظرف نمونه مشخص شده است).



شکل ۶ امولسیون تهیه شده از هیبرید آلومینا-نانولله‌های کربنی  
حاوی ۷۰٪ نanolله کربنی چند دیواره در دمای ۱۴۰ درجه سانتی‌گراد با سورفکتانت‌های متفاوت SDBS، CTAB، TX-100

شکل ۹ امولسیون تهیه شده از هیبرید آلومینا-نانولله‌های کربنی حاوی ۷۰٪ نanolله کربنی چند دیواره سنتز شده در دماهای متفاوت را نشان می‌دهد. همان‌طور که نمونه ب شکل ۹ نشان می‌دهد، بهترین دما برای سنتز هیبرید آلومینا-نانولله‌های کربنی چند دیواره دمای ۱۴۰ درجه سانتی‌گراد است. در دمای ۱۲۰ درجه سانتی‌گراد (نمونه الف) هیبرید به خوبی تشکیل نشده و ذرات آلومینا و نanolله‌های کربنی چند دیواره به صورت جداگانه قرار گرفته‌اند. در دمای ۱۷۰ درجه سانتی‌گراد (نمونه ج) محلول یکنواختی به دست آمده اما در اثر تابش امواج فرماصوت، هیبرید شکسته و رنگ خاکستری ایجاد شده است. در ضمن، امولسیون حاوی نانو ذرات گاما آلومینا بعد از اتمام فرایند فرماصوت فقط تا دقایقی پایدار مانده و سپس رسوب ایجاد می‌شود. شایان ذکر است که اگر از همزن معمولی و یا مغناطیسی به جای حمام فرماصوت استفاده می‌شد، نمونه به خوبی پراکنده نشده و بخش اعظم آن رسوب می‌کرد. در میان هیبریدهای تهیه شده نمونه‌ای که در دمای ۱۴۰°C سنتز شده بود بهترین پایداری را در امولسیون‌سازی



شکل ۷ تصویرهای امولسیون‌های تهیه شده در پژوهش‌های پیشین به همراه تصویرهای میکروسکوپی مربوط [۱۲]

نانولوله کربنی، منجر به نشکیل امولسیون پایدارتر خواهد شد و ساختار هیبرید به دست آمده مستحکم‌تر است.

### آزمایش‌های انجام شده در انتستیوی نفت دانشگاه تهران آزمایش کشش بین‌سطحی

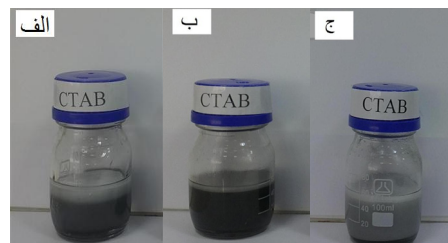
برای درک تأثیر نمونه بر کشش بین‌سطحی، هیبرید تهیه شده به تنهایی بدون افزودن هیچ سورفاکتانت و پایدارکننده‌ای در آب مقطر پراکنده شد.

پس از گرفتن عکس از قطره آویزان با دوربین متصل به دستگاه و دادن مقدار عددی چگالی به نرمافزار، مقدار کشش بین‌سطحی بر حسب میلی‌نیوتن بر متر به دست می‌آید. کشش سطحی بین کروسین و آب به عنوان نمونه شاهد،  $53.9 \text{ Nm/m}$  و کشش سطحی بین سیال به دست آمده با استفاده از نمونه هیبرید تهیه شده و کروسین،  $51.7 \text{ Nm/m}$  تعیین شد. بنابراین، مشاهده می‌شود که سیال تهیه شده با استفاده از هیبرید سنتز شده، کشش سطحی را کاهش داده است.

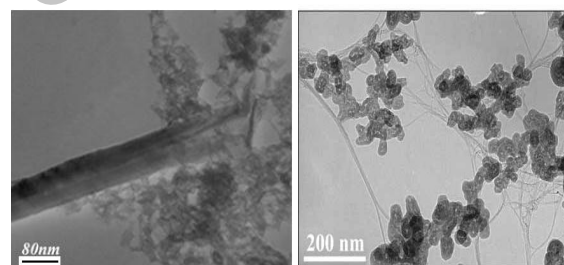
### آزمایش زاویه تماس

اگر زاویه تماس بین آب با سنگ در محیط نفت اندازه‌گیری شود، هرچه زاویه تماس از  $90^\circ$  بیشتر باشد، نمونه آب دوست‌تر و هرچه زاویه تماس از  $90^\circ$  کمتر باشد، نمونه نفت دوست‌تر است. شکل ۱۱ زاویه تماس بین آب مقطر و سنگ کربناته اشباع شده از کروسین را در دستگاه "زاویه برخورد" به عنوان نمونه نشان می‌دهد. همان‌طور که در شکل مشخص است، مقدار زاویه تماس،  $81^\circ$  به دست آمده است. شکل ۱۲ زاویه تماس بین آب مقطر و سنگ ماسه‌ای اشباع شده از کروسین را در دستگاه زاویه برخورد به عنوان نمونه شاهد نشان می‌دهد. همان‌طور که در شکل مشخص است، مقدار زاویه تماس،  $115^\circ$  به دست آمده است. افزایش زاویه تماس، باعث افزایش ترشوندگی شده و موجب آب دوست‌تر شدن سنگ می‌شود. شکل ۱۳ زاویه تماس بین قطره کروسین و سنگ کربناته پوشیده شده از هیبرید تهیه شده را در دستگاه زاویه برخورد نشان می‌دهد. همان‌طور که در شکل مشخص است، مقدار

داشت زیرا افزایش دما موجب شکسته شدن گروه‌های عاملی تشکیل شده روی نanolوله‌های کربنی چند دیواره می‌شود و هیبرید مناسبی از آن‌ها با نانوساختارهای گاما آلومینا تشکیل نمی‌شود. در دمای پایین‌تر (دمای  $110^\circ\text{C}$ ) شرایط مناسب برای تشکیل هیبریدهای مورد نظر در ظرف آب‌گرمایی فراهم نمی‌شود.



شکل ۹ (الف) امولسیون تهیه شده از هیبرید آلومینا-نانولوله‌های کربنی در دمای  $120^\circ\text{C}$  درجه سانتی‌گراد، (ب) امولسیون تهیه شده از هیبرید آلومینا-نانولوله‌های کربنی در دمای  $40^\circ\text{C}$  درجه سانتی‌گراد، (ج) امولسیون تهیه شده از هیبرید آلومینا-نانولوله‌های کربنی در دمای  $70^\circ\text{C}$  درجه سانتی‌گراد سورفاکتانت مورد استفاده برای تهیه امولسیون‌های مذکور، ستيل ترى متيل آمونيوم برماید (CTAB) بوده است.



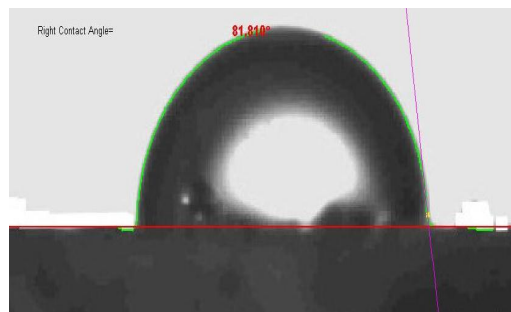
شکل ۱۰ مقایسه تصویرهای TEM نمونه هیبرید ساخته شده توسط رسیکو و همکارانش [۱۱] (تصویر سمت راست) و نمونه هیبرید  $70^\circ\text{C}$  تهیه شده در پژوهش حاضر (تصویر سمت چپ) در شکل ۱۰ تصویرهای TEM نمونه هیبرید  $70\%$  سنتز شده در این پژوهش با نمونه هیبرید تهیه شده توسط رسیکو و همکارانش [۱۲] جهت مقایسه ارایه شده‌اند. همان‌طور که مشاهده می‌شود، نانوذرات آلومینا در نمونه به دست آمده در این پژوهش، به خوبی در دهانه باز شده نanolوله‌های کربنی و در داخل آن‌ها تشکیل شده‌اند و در ضمن روی سطح نanolوله‌های کربنی نیز پوشش مناسبی ایجاد کرده‌اند در صورتی که نمونه تهیه شده توسط رسیکو و همکارانش تنها تشکیل نانوذرات روی سطح نanolوله‌های کربنی را نشان می‌دهد. بدینهی است تشکیل نانوذرات در داخل و دهانه

1. Contact angle

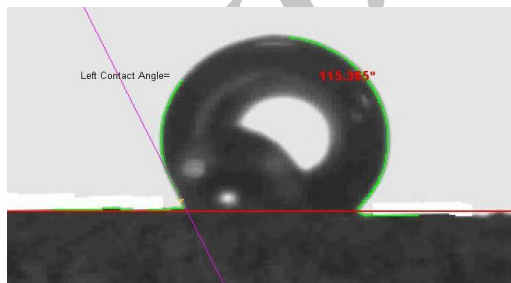
زاویه تماس،  $134^{\circ}$  بددست آمده است. شکل ۱۴ زاویه تماس بین قطره کروسین و سنگ ماسه‌ای پوشیده شده از هیبرید تهیه شده را در دستگاه زاویه برخورد نشان می‌دهد. همان‌طور که در شکل مشخص است، مقدار زاویه تماس،  $127^{\circ}$  بددست آمده است. با مقایسه نتیجه‌های آزمایش‌های کشش بین سطحی و زاویه تماس نمونه‌های حاصله با نمونه‌های گزارش شده در منابع علمی [۱۳] مشخص می‌شود که نمونه‌های تهیه شده باعث کاهش کشش بین سطحی آب و نفت شده و ترشوندگی سنگ مخزن را افزایش دهنده و بنابراین، می‌توانند در ازدیاد برداشت مخازن نفتی با استفاده از مواد شیمیایی به کار روند.

### نتیجه‌گیری

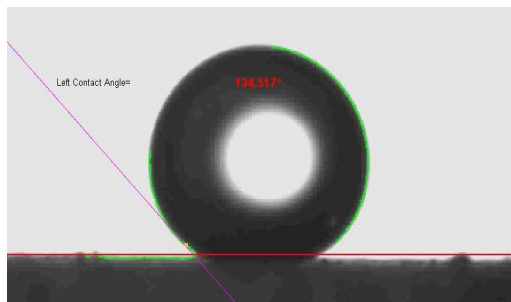
با توجه به این که جنس سنگ‌های مخزن نفت در خاورمیانه بیشتر کربناتی است، برای تهیه امولسیون‌ها بهتر است از سورفکتانت کاتیونی استفاده شود. بررسی نوع سورفکتانت در پایداری امولسیون‌های تهیه شده نشان داد که نمونه هیبریدهای سنتر شده بیشترین سازگاری را با سورفکتانت کاتیونی CTAB دارند. بنابراین، امولسیون بددست آمده سازگاری خوبی با مخازن نفت کربناته کشور خواهد داشت. خوب‌بختانه امولسیون‌های تهیه شده از نمونه‌های هیبرید آلومینا-نانولوله‌های کربنی به مدت چندین ماه یکنواخت بوده و رسوب ایجاد نکردن. بنابراین، پایداری مناسبی داشته‌اند و با توجه به نتیجه‌های آزمایش‌های کشش بین سطحی و زاویه تماس که در انسټیتوی نفت دانشگاه تهران انجام شده است، با افزایش ترشوندگی سنگ مخزن و کاهش کشش بین سطحی می‌توانند در ازدیاد برداشت مخازن نفتی مورد استفاده قرار گیرند. از نظر اقتصادی نیز روش ارایه شده در این پژوهش برای تهیه هیبرید MWCNT-Al<sub>2</sub>O<sub>3</sub> ساده و مقرر به صرفه است. امولسیون تهیه شده حاوی هیبرید تهیه شده، آب مقطّر، سورفکتانت کاتیونی، کروسین و ۲-پروپانول است. بررسی پایداری امولسیون‌های تهیه شده با هیبریدهای گاما آلومینا و درصدهای متفاوت نanolوله‌های کربنی ( $10\%$ ،  $50\%$  و  $70\%$ )، نشان داد که امولسیون تهیه شده با هیبرید  $70\%$  بهترین پایداری را ایجاد می‌کند.



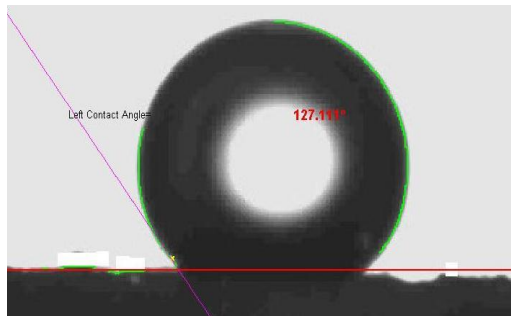
شکل ۱۱ زاویه تماس بین آب مقطّر و سنگ کربناته اشباع شده از کروسین در دستگاه "زاویه برخورد" به عنوان نمونه شاهد



شکل ۱۲ زاویه‌ی تماس بین آب مقطّر و سنگ ماسه‌ای اشباع شده از کروسین در دستگاه "زاویه برخورد" به عنوان نمونه‌ی شاهد



شکل ۱۳ زاویه تماس بین قطره کروسین و سنگ کربناته پوشیده شده از هیبرید تهیه شده در دستگاه "زاویه برخورد"



شکل ۱۴ زاویه تماس بین قطره کروسین و سنگ ماسه‌ای پوشیده شده از هیبرید تهیه شده در دستگاه "زاویه برخورد"

## مراجع

- [1] Pathak, L.C.; Singh, T.B.; Das, S.; Verma, A.K.; Ramachandrarao, P.; Materials Letters 57, 380–385, 2002.
- [2] Wu, Y.Q.; Zhang, Y.; Huang, X.; Guo, J.; Int. 27, 265–268, 2001.
- [3] Macedo, M.I.F.; Osawa, C.C.; Bertran, C.A.; J. Sol-gel Sci. Technol. 30, 135-140, 2004.
- [4] Ada, K.; Sarıkaya, Y.; Alemdaroğlu, T.; Önal, M.; Int. 29, 513-518, 2003.
- [5] Sharma, P.K.; Varadan, V.V.; Varadan, V.K.; Soc. 23, 659-666, 2003.
- [6] Dumeignil, F.; Sato, K.; Imamura, M.; Matsubayashi, N.; Payen, E.; Shimada, H.; App. Catal. A-General. 241, 319-329, 2003.
- [7] Qu, L.; He, C.; Yang, Y.; He, Y.; Liu, Z.; Materials Letters 59, (2005), 4034.
- [8] Serp, P.; Corrias, M.; Kalck, P.; App. Catal. A-General, 253, 337-358, 2003.
- [9] Nhu, Y.; Thi, Le.; Du, Khanh Pham, Kim Hung, Le.; Phuong, Tung Nguyen., J. Nano sci Nanotechnol., 2, 035013, 2011.
- [10] گلابی، الف؛ سیدین آزاد، ف؛ آیت الهی، ش؛ مرتضوی پورسوق، ر؛ استفاده از مواد شیمیایی در ازدیاد برداشت نفت، هفتمین همایش ملی دانشجویی مهندسی شیمی.
- [11] Shen, M.; Resasco, D.E.; Langmuir, 25, 18, 10843, 2009.
- [12] Wang, H.; Hobbie, E.K.; Langmuir, 19, 8, 30912003.
- [13] Karimi, A.; Fakhroueian, Z.; Bahramian, A.; Pour-Khiabani, N.; Babaee-Darabad, J.; Azin, R.; Arya, S.; Energy Fuels, 26, 1028, 2012.